

КРАТКИЕ
СООБЩЕНИЯ

УДК 597.556.334.1(265.53)

О ПОИМКЕ ПАРУСНИКОВ *ISTIOPHORUS PLATYPTERUS*
(ISTIOPHORIDAE) У ЗАПАДНОГО ПОБЕРЕЖЬЯ ОСТРОВА КУНАШИР
(ОХОТСКОЕ МОРЕ) В СЕНТЯБРЕ 2023 Г.

© 2024 г. Ю. Н. Полтев¹, *, В. Г. Самарский¹

¹Сахалинский филиал Всероссийского научно-исследовательского института рыбного хозяйства и океанографии – СахНИРО, Южно-Сахалинск, Россия

*E-mail: poltevyun@sakhniro.vniro.ru

Поступила в редакцию 08.12.2023 г.

После доработки 27.02.2024 г.

Принята к публикации 28.02.2024 г.

Три неполовозрелые особи парусника *Istiophorus platypterus* были обнаружены 27.09.2023 г. в улове ставного невода, выставленного с охотоморской стороны о-ва Кунашир. Представлены описание внешнего вида и результаты морфометрических измерений одной из них. Общая длина исследованного экземпляра 1101.3 мм, длина от вершины верхней челюсти до выемки хвостового плавника – 973.8 мм, длина от вершины верхней челюсти до конца гипуралий – 966.6 мм, длина тела от вершины нижней челюсти до выемки хвостового плавника – 821.5 мм, масса тела – 2.25 кг. Температура поверхностного слоя воды в месте поимки в указанную дату составила 21°C.

Ключевые слова: парусник *Istiophorus platypterus*, морфометрия, внешний вид, температура поверхностного слоя воды, Кунаширский пролив, Охотское море.

DOI: 10.31857/S0042875224060112 EDN: QRUWJN

Род *Istiophorus* (парусники) вместе с родами *Istiompax* (один вид – чёрный (индийский) марлин *I. indica*), *Kajikia* (два вида: атлантический белый *K. albida* и полосатый *K. audax* копьеносцы (марлины)), *Makaira* (макайры, два вида: индотихоокеанский голубой *M. mazara* и атлантический голубой *M. nigricans* марлины) и *Tetrapturus* (четыре вида: короткорылый *T. angustirostris*, средиземноморский *T. belone*, южноевропейский *T. georgii* и малый *T. pfluegeri* копьеносцы) представляют семейство Istiophoridae – парусниковые (марлиновые, копьерылые) (Решетников, Котляр, 2022; Fricke et al., 2023). В настоящее время род *Istiophorus* включает лишь один валидный вид – парусник *I. platypterus* (Shaw, 1792), представленный, по мнению одних исследователей (Ferrette et al., 2021), тремя высокоструктурированными циркумтропическими популяциями (Атлантического океана, индо-западной части Тихого океана и восточной части Тихого

океана), по мнению других¹ – четырьмя (Атлантического океана, Персидского залива, индо-западной части Тихого океана и восточной части Тихого океана). В западной части Тихого океана парусник встречается примерно между 45°05' с.ш. и 40°35' ю.ш. (Collette et al., 2006).

К настоящему времени зарубежные исследователи опубликовали множество работ, посвящённых этому виду, в частности, обитающим в водах у восточного побережья Тайваня представителям индо-тихоокеанской популяции (Chiang et al., 2004, 2006a, 2006b, 2009; Wang et al., 2006; Tsai et al., 2014, 2015). Данные отечественных учёных о некоторых особенностях биологии парусника получены в основном в 1960-х гг. (Жаров и др., 1961; Овчинников, 1963; Осипов, 1968). В России этот вид известен из

¹ McDowell J.R. 2002. Genetic stock structure of the sailfish, *Istiophorus platypterus*, based on nuclear and mitochondrial DNA: PhD dissertation. Williamsburg, Virginia: Virginia Inst. Mar. Sci. <https://doi.org/10.25773/v5-2wv9-6970>

зал. Петра Великого (Японское море) (Солдатов, Линдберг, 1930), о его встречаемости в водах у южных Курильских о-вов известно из японского источника (Ueno, 1971). Федоров и Парин (1998) предполагали, что парусник является редким видом в целом для экономической зоны России, в которую заходит лишь в годы заноса тёплых вод. Цель нашей работы – сообщить о первой за период отечественных исследований в Сахалино-Курильском регионе поимке особой парусника.

МАТЕРИАЛ И МЕТОДИКА

27.09.2023 г. в улове ставного невода, выставленного в трёх километрах севернее протоки оз. Ильинское (координаты 44°49'52" с.ш., 145°49'52" в.д.) (о. Кунашир, Охотское море) (рис. 1), были отмечены, по крайней мере, три рыбы с высоким спинным плавником и копьевидным выростом рыла. Одну из них сфотографировали непосредственно после поимки и использовали для описания внешнего вида (рис. 2а). Позже, когда пойманные особи уже потеряли прижизненную окраску, их сфотографировали вместе (рис. 2б). Одну из них поместили в морозильную камеру и 18 октября самолётом в замороженном состоянии доставили в Южно-Сахалинск и далее в СахНИРО, где 19 октября её исследовали. Удлинённая часть верхней челюсти особи была обломана на уровне вершины нижней челюсти, и наиболее тонкая часть этого обломка была утеряна (рис. 2в). Также была надломлена вершина нижней челюсти и отсутствовал левый брюшной плавник. Для установления длины верхней челюсти рыбы использовали фотографию особи (рис. 2а) с прижизненной окраской тела (по соотношению длины головы от вершины верхней челюсти к длине головы от вершины нижней челюсти). Для видовой идентификации использовали публикацию Накамуры (Nakamura, 1983).

В своей работе ориентировались на исследование парусника в водах у восточного Тайваня как географически наиболее близких к водам у Сахалина и Южных Курил. В качестве промера длины парусника, как и других копьерых, используют *EFL* (*EOFL*) – длину от заднего края глаза до выемки хвостового плавника (Осипов, 1968; Hernández-Herrera, Ramirez-Rodríguez, 1998; Hernández-Herrera et al., 2000) или *LJFL* – длину от вершины нижней челюсти до выемки хвостового плавника (Hoolihan, 2006; Wang et al., 2006; Tsai et al., 2014). Как и тайваньские

исследователи, мы в настоящей работе использовали *LJFL*. Морфометрические измерения преимущественно проводили согласно схеме, предложенной Накамурой (Nakamura, 1983), но также использовали промеры, встреченные и у других авторов (Hoolihan, 2006; Velayutham et al., 2012; Naputhantri, Perera, 2015). Также использованы следующие обозначения признаков: *UJTL* (*TL*) – общая длина тела, *UJFL* (*FL*) – длина тела по Смитту, *UJSL* (*SL*) – стандартная длина тела. Данные по температуре поверхностного слоя океана получены со станции приёма спутниковых данных TeraScan (спутники серии NOAA-18, 19; MetOp-1, Agra).

РЕЗУЛЬТАТЫ И ОБСУЖДЕНИЕ

Согласно ключу (Nakamura, 1983), первым систематическим признаком копьерых рыб из надсемейства Xiphiidae (отряд Carangiformes) является наличие или отсутствие брюшных плавников. Из всех копьерых он отсутствует только у меч-рыбы *Xiphias gladius*. У изученного нами экземпляра брюшные плавники имеются. Следующим систематическим признаком являются высота первого спинного и длина брюшных плавников. Парусник выделяется среди копьерых и высотой первого спинного плавника, сильно превышающей высоту тела на уровне середины туловища, и длиной лучей брюшного плавника с хорошо развитой перепонкой, достигающих чуть ли не до ануса. Именно такие плавники были у нашего экземпляра. Таким образом, выловленную у западного побережья о-ва Кунашир копьерую рыбу мы идентифицировали как парусник. Исходя из участков обитания представителей трёх его популяций (Ferrette et al., 2021), данную особь отнесли к индо-тихоокеанской популяции.

Морфологические признаки исследованного экземпляра: *UJTL* 1101.3, *UJFL* 973.8, *UJSL* 966.6, *LJFL* 821.5 мм, масса тела 2.25 кг. Максимальная известная *TL* вида – 340.4 см при массе 89.81 кг, максимальная масса – 100.24 кг при *TL* 327.7 см (Nakamura, 1985). Максимальная *LJFL* самок в дрейферных уловах в водах восточного Тайваня – 239 см, самцов – 227 см (Chiang et al., 2009). Согласно результатам обратного расчисления, одногодовалые самцы парусника в этих водах достигают *LJFL* 99.9 см, самки – 103.51 см (Chiang et al., 2004). Средняя *LJFL* достижения полового созревания у самок – 166 см, наименьшая – 162 см (Chiang et al., 2006a). Желудок был пуст.

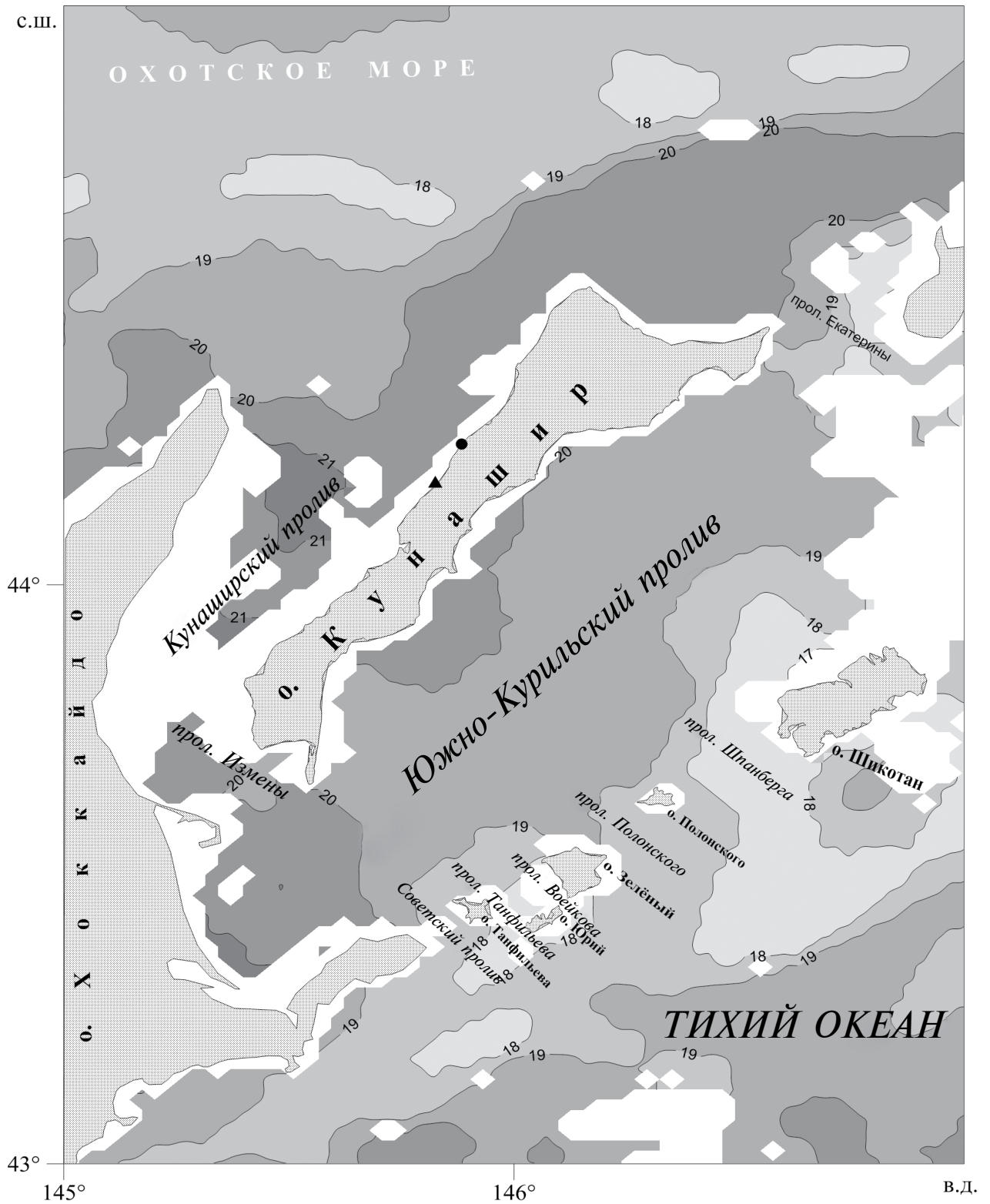


Рис. 1. Места поимок представителей семейства копьерыльных (Istiophoridae): (▲) – парусников *Istiophorus platypterus* 27.09.2023 г.; (•) – неидентифицированной до вида особи в августе 2007 г. (по: Полтев, Соков, 2023). Температура поверхности океана в день поимки парусников (неокрашенные области – участки тумана): (—) – изотермы.

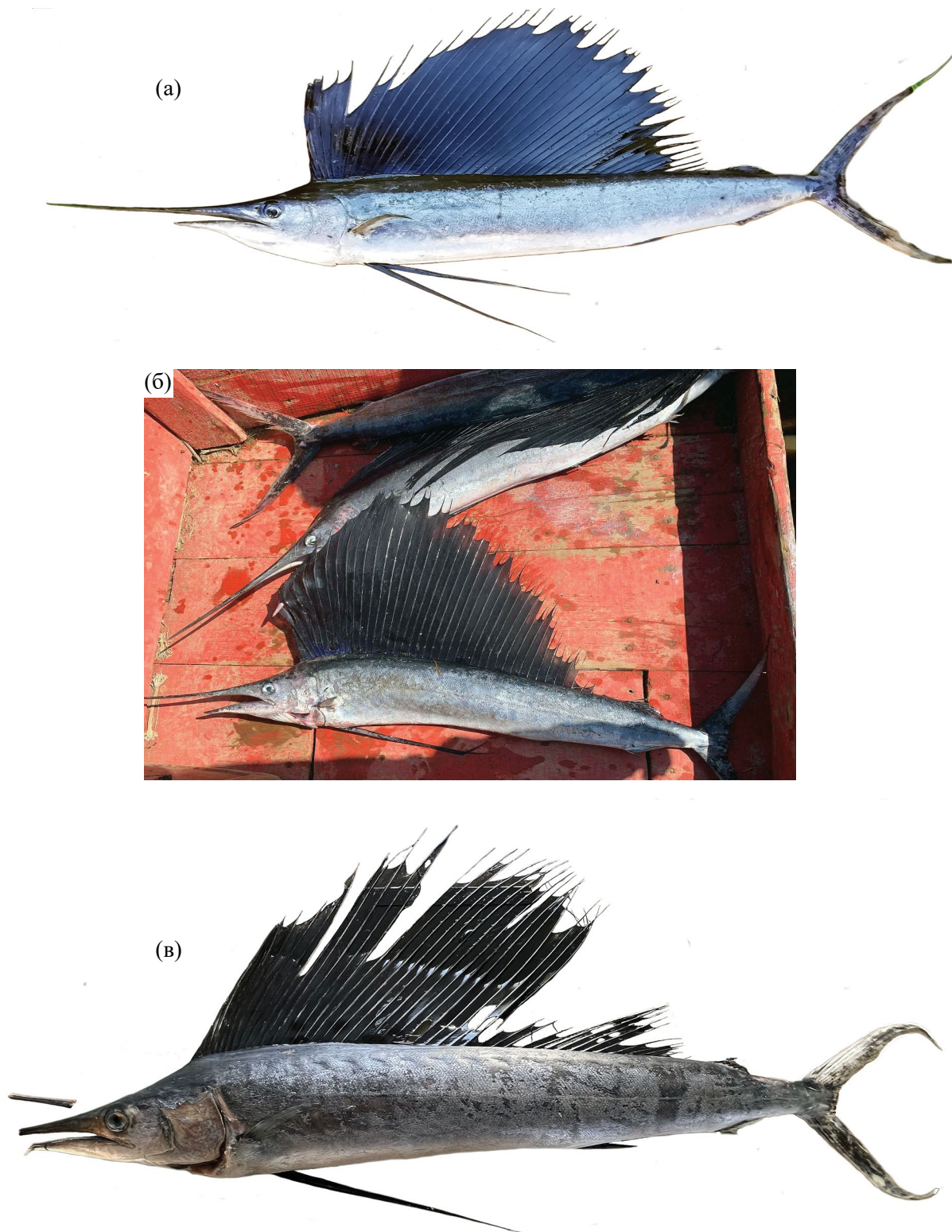


Рис. 2. Внешний вид парусников *Istiophorus platypterus*: а – непосредственно после поимки, б – потерявших прижизненную окраску тела, в – исследованной особи *TL* 1101.3 мм с обломком копьевидного выроста.

Таким образом, исследованная нами особь, пол которой установить не удалось, является неполовозрелой и не достигшей годовалого возраста. Известный предельный возраст самцов парусника – 11, самок – 12 лет (Chiang et al., 2004).

Внешний вид изученного парусника согласуется с описанием Накамуры (Nakamura, 1983, 1985), далее в скобках приведены его данные. Имеющиеся различия, вероятно, связаны с тем, что он описывал взрослых особей, а мы – неполовозрелую. Тело исследованного парусника удлинённое и сжатое с боков. Удлинённый копьевидный вырост округлый в сечении. Задний край верхней челюсти заходит за задний край глаза (рис. 3а). На обеих челюстях и нёбе расположены мелкие пилообразные зубы. Жаберных тычинок нет. Боковая линия довольно чёткая, изгибается над основанием грудного плавника (рис. 3б) и затем продолжается по прямой линии к хвостовому плавнику. Два спинных плавника, первый – большой с 47 (42–49), второй – маленький с шестью (шестью–семью) лучами. Первый спинной плавник парусовидный, с самыми длинными средними лучами, заметно превышающими высоту тела на уровне середины туловища. Длина его первых высоких лучей постепенно растёт и, достигнув максимума у 21-го луча, постепенно уменьшается (первые несколько лучей высокие, слегка уменьшаются к середине, затем становятся выше и, наконец, постепенно уменьшаются). Данный плавник заканчивается непосредственно перед вторым спинным плавником. Длина основания второго спинного плавника почти такого же размера, как и второго анального плавника. Два анальных плавника, в первом 11 (12–17), во втором шесть (шесть–семь) лучей. В грудных плавниках 20 (18–20) лучей. Брюшной плавник с одним ключим и несколькими мягкими лучами с хорошо развитой мембраной. Он значительно длиннее грудного и заходит за анальное отверстие (почти доходит до анального отверстия). Для брюшных плавников, как и для первых спинного и анального, в теле имеются желобки (рис. 3в). Хвостовой плавник глубоко вильчатый и мощный с двойными килями с каждой боковой стороны (рис. 3г). Анус расположен рядом с началом первого анального плавника.

Описание парусника приводим в сравнении с данными Солдатова и Линдберга (1930) по особи длиной 294 см (далее в скобках приведены результаты их измерений). В длине тела по Смитту наибольшая высота тела укладывается 8.0 раза (7.7),

длина головы от вершины верхней челюсти – 2.7 раза (3.0); длина рыла от вершины верхней челюсти до переднего края глаза – 3.7 раза (4.1), от вершины нижней челюсти – 8.7 раза (9.6); длина основания первого спинного плавника – 2.1 раза (около 2.0), второго спинного – 25.5 раза (около 24.0), первого анального – 9.6 раза (около 23.0), второго анального – 25.3 раза (24.0); высота наиболее длинного (21-го) луча первого спинного плавника – 3.1 раза (около 3.0); длина грудного плавника – 12.1 раза (6.4), правого брюшного – 3.7 раза (5.0). Диаметр глаза укладывается в длину головы от вершины верхней челюсти 17.7 раза (около 16.0). Для большинства признаков получены близкие значения. Исключением являются длины первого анального (различие более чем в два раза) и грудного (около двух раз) плавников.

Спинная сторона исследованного экземпляра серая, боковая – серебристо-голубая без продольных полос, вентральная – белая. Мембрана первого спинного плавника лазурно-синяя. У особи, описанной Солдатовым и Линдбергом (1930), тело тёмно-синее с дорсальной стороны, серебристо-беловатое с брюшной, светло-синее с коричневыми вкраплениями с латеральной стороны, на которой заметны ~ 20 рядов продольных полос, образованных множеством светло-голубых круглых точек. Жаров с соавторами (1961) отмечали, что свежевывловленные особи парусника ярко окрашены с преобладанием лилово-голубых тонов, мёртвые рыбы со временем тускнеют. Такая же потускневшая окраска наблюдается у описанных нами особей (рис. 2б, 2в). Как и у многих других видов рыб, среди парусников встречаются особи-альбиносы (Vidaurre-Sotelo et al., 2005).

Роль характерных для парусников особенностей строения тела частично объясняет Накамура (Nakamura, 1983): желоба используются для складывания плавников при преследовании добычи. Копьевидный вырост, сформированный предчелюстными костями (Нельсон, 2009), очевидно, служит для нанесения ударов по жертвам. Первый спинной плавник, согласно Тинсли (Tinsley, 1964 – цит. по: Nakamura, 1983), выполняет функции паруса, защиты от хищников, регулятора сложных движений, орудия для концентрирования жертв в косяки сферической формы. Последняя функция связана с защитным поведением пелагических рыб, косяки которых при угрозе нападения образуют компактную форму шара с постоянным движением внутри него для большей дезориентации хищника (Kasumyan,



Рис. 3. Морфологические черты исследованного парусника *Istiophorus platypterus* TL 1101.3 мм: а – расположение заднего края верхней челюсти относительно глаза, б – изгиб боковой линии; в – фрагмент брюшного плавника, сложенного в желобок; г – двойные кили на хвостовом плавнике.

Pavlov, 2023). Судя по всему, увеличение с помощью плавника размеров парусника усиливает восприятие рыбами-жертвами опасности и приводит к перестроению их косяков на защитную форму. Хищники этим пользуются, нанося удары копьевидным выростом по шару.

В водах у восточной части Тайваня состав пищи парусника характеризуется большим разнообразием, включая целый ряд прибрежных, бентосных, пелагических и мезопелагических рыб, но в основном жертвами становятся наиболее распространённые здесь виды (Tsai et al., 2015), особенно *Auxis rochei* (Tsai et al., 2014). Можно предположить, что в район поимки у южных Курильских о-вов парусники проникли вслед за объектами питания, занесёнными тёплыми водами и не распространёнными в этой акватории. На рис. 2б видно, что пойманные экземпляры парусника близки по размеру. Это согласуется с информацией о том, что в японских водах косяки парусника состоят или из молодежи

(EFL 55–110 см), или из взрослых особей (EFL 145–235 см), редко образуя смешанные скопления (Nakamura, 1985). В нашем случае в ставной невод зашли рыбы, по-видимому, из небольшой группы парусников, объединённых по размерному принципу.

Парусника, проводящего в зависимости от района обитания большую часть времени в поверхностном 10- (Hoolihan, 2006; Mourato et al., 2014) или 50-метровом (Chiang et al., 2013) слоях в диапазоне температур 21–28°C (Collette et al., 2022), относят к океаническим и эпипелагическим рыбам (Nakamura, 1985). Однако с учётом случаев нахождения его особей на глубинах, превышающих 100 и даже 500 м (Mourato et al., 2014) парусник является океаническим интерзональным видом или, по терминологии Парина (1968), никтоэпипелагическим. Это наименее океанический из всех копьерылых рыб вид, наиболее часто встречающийся и распределяющийся с наибольшей плотностью вблизи материко-

вых побережий и островов (Collette et al., 2022). У восточного побережья Тайваня парусники проводят >85% времени в верхнем равномерно перемешанном слое выше ~50 м, иногда совершая вертикальные перемещения от 0 до 214 м в температурном диапазоне от 30.0 до 17.8°C, более интенсивные в дневное время. Распределение особей по глубинам ограничивается разницей в температуре воды на ~6–8°C относительно температуры поверхности моря (Chiang et al., 2011, 2013).

По данным станции приёма спутниковой информации, температура поверхности океана на участке поимки парусника у охотоморского побережья о-ва Кунашир составила 21°C. Причём прогретые до такой температуры водные массы распространялись и до южной части о-ва Итуруп. Предполагаем, что и в этой части Южных Курил парусники могли быть встречены. Интересно, что в конце августа 2007 г. (рис. 1) недалеко от места поимки парусников также в ставном неводе были обнаружены останки неидентифицированного до вида представителя копьерых рыб (Полтев, Соков, 2023). Представляется, что заход копьерых рыб с тёплыми водами в охотоморские воды у о-ва Кунашир – обычное явление, а случаи их поимки в ставные невода не единичны. Однако в силу различных обстоятельств такие случаи остаются неизвестными.

После проведения соответствующих морфометрических замеров парусника передали в Сахалинский краеведческий музей для изготовления чучела.

БЛАГОДАРНОСТИ

Авторы благодарят владельца компании ООО «Береговое предприятие прибрежного рыболовства “Айленд Фиш Инвест” А.А. Урумянца за сохранение и доставку в СахНИРО одного из пойманных парусников, а также ведущего научного сотрудника лаборатории океанологии СахНИРО Д.М. Ложкина за предоставленную информацию по температуре поверхностного слоя воды в районе южных Курильских о-вов.

СПИСОК ЛИТЕРАТУРЫ

Жаров В.Л., Карпеченко Ю.Л., Мартинсен Г.В. 1961. Тунцы и другие объекты тунцового промысла. М.: Рыб. хоз-во, 114 с.

Нельсон Д.С. 2009. Рыбы мировой фауны. М.: Либроком, 880 с.

Овчинников В.В. 1963. Парусник // Рыб. хоз-во. № 11. С. 7–9.

Осинов В.Г. 1968. Океанские пелагические рыбы. Владивосток: Дальневост. кн. изд-во, 64 с.

Парин Н.В. 1968. Ихтиофауна океанской эпипелагиали. М.: Наука, 186 с.

Полтев Ю.Н., Соков Д.А. 2023. О поимке представителя сем. копьерых *Istiophoridae* в водах Кунаширского пролива // Вестн. Сахалин. музея. № 4. С. 119–121.

Решетников Ю.С., Котляр А.Н. 2022. Словарь названий рыб на шести языках. М.: Т-во науч. изд. КМК, 838 с.

Солдатов В.К., Лундберг Г.У. 1930. Обзор рыб дальневосточных морей // Изв. ТИНРО. Т. 5. 574 с.

Федоров В.В., Парин Н.В. 1998. Пелагические и бентопелагические рыбы тихоокеанских вод России (в пределах 200-мильной экономической зоны). М.: Изд-во ВНИРО, 154 с.

Chiang W.-C., Sun C.-L., Yeh S.-Z., Su W.-C. 2004. Age and growth of sailfish (*Istiophorus platypterus*) in waters off eastern Taiwan // Fish. Bull. V. 102. № 2. P. 251–263.

Chiang W.-C., Sun C.-L., Yeh S.-Z. et al. 2006a. Sex ratios, size at sexual maturity, and spawning seasonality of sailfish *Istiophorus platypterus* from eastern Taiwan // Bull. Mar. Sci. V. 79. № 3. P. 727–737.

Chiang W.-C., Sun C.-L., Yeh S.-Z. et al. 2006b. Spawning frequency and batch fecundity of sailfish (*Istiophorus platypterus*) (*Istiophoridae*) in waters off eastern Taiwan // Zool. Stud. V. 45. № 4. P. 483–490.

Chiang W.-C., Sun C.-L., Wang S.-P. et al. 2009. Analysis of sex-specific spawning biomass per recruit of the sailfish (*Istiophorus platypterus*) in the waters off eastern Taiwan // Fish. Bull. V. 107. № 3. P. 265–277.

Chiang W.-C., Musyl M.K., Sun C.-L. et al. 2011. Vertical and horizontal movements of sailfish (*Istiophorus platypterus*) near Taiwan determined using pop-up satellite tags // J. Exp. Mar. Biol. Ecol. V. 397. № 2. P. 129–135. <https://doi.org/10.1016/j.jembe.2010.11.018>

Chiang W.-C., Kawabe R., Musyl M.K. et al. 2013. Diel oscillations in sailfish vertical movement behavior in the East China Sea // J. Mar. Sci. Technol. V. 21. № 7. P. 267–273. <https://doi.org/10.6119/JMST-013-1220-15>

Collette B.B., McDowell J.R., Graves J.E. 2006. Phylogeny of recent billfishes (Xiphoidei) // Bull. Mar. Sci. V. 79. № 3. P. 455–468.

Collette B.B., Di Natale A., Fox W. et al. 2022. *Istiophorus platypterus* // The IUCN Red List of threatened species 2022: e.T170338A46649664. <https://doi.org/10.2305/IUCN.UK.2022-1.RLTS.T170338A46649664.en>

Ferrette B.L.S., Mourato B., Hazin F.H.V. et al. 2021. Global phylogeography of sailfish: deep evolutionary lineages with implications for fisheries management // Hydrobiologia. V. 848. № 17. P. 3883–3904. <https://doi.org/10.1007/s10750-021-04587-w>

Fricke R., Eschmeyer W.N., van der Laan R. (eds.). 2024. Eschmeyer's catalog of fishes: genera, species, references (<http://researcharchive.calacademy.org/research/ichthyology/catalog/fishcatmain.asp>. Version 11/2023).

- Haputhantri S.S.K., Perera H.A.C.C.* 2015. Estimation of length–weight relationship and some morphometric relationships of Indo-Pacific Sailfish (*Istiophorus platypterus*) using biological data of gillnet fishery and longline fishery in Sri Lanka // Meet. Doc. WPB. 13th session IOTC. IOTC–2015–WPB13–22. Victoria, Seychelles: IOTC, 17 p.
- Hernández-Herrera A., Ramírez-Rodríguez M.* 1998. Spawning seasonality and length at maturity of sailfish (*Istiophorus platypterus*) off the Pacific coast of Mexico // Bull. Mar. Sci. V. 63. № 3. P. 459–467.
- Hernández-Herrera A., Ramírez-Rodríguez M., Muhlia-Melo A.* 2000. Batch fecundity and spawning frequency of sailfish (*Istiophorus platypterus*) off the Pacific coast of Mexico // Pac. Sci. V. 54. № 2. P. 189–194.
- Hoolihan J.P.* 2006. Age and growth of Indo-Pacific sailfish, *Istiophorus platypterus*, from the Arabian Gulf // Fish. Res. V. 78. № 2–3. P. 218–226.
<https://doi.org/10.1016/j.fishres.2005.11.019>
- Kasumyan A.O., Pavlov D.S.* 2023. Protective function of a fish school // J. Ichthyol. V. 63. № 7. P. 1297–1319.
<https://doi.org/10.1134/S0032945223070093>
- Mourato B.L., Carvalho F., Musyl M. et al.* 2014. Short-term movements and habitat preferences of sailfish, *Istiophorus platypterus* (Istiophoridae), along the southeast coast of Brazil // Neotrop. Ichthyol. V. 12. № 4. P. 861–870.
<https://doi.org/10.1590/1982-0224-20130102>
- Nakamura I.* 1983. Systematics of the billfishes (Xiphiidae and Istiophoridae) // Publ. Seto Mar. Biol. Lab. V. 28. № 5/6. P. 255–396.
- Nakamura I.* 1985. FAO species catalogue. Billfishes of the World. An annotated and illustrated catalogue of marlins, sailfishes, spearfishes and swordfishes known to date. FAO Fish. Synop. V. 5. № 125. Rome: FAO, 65 p.
- Tsai C.-N., Chang W.-C., Sun C.-L. et al.* 2014. Trophic size-structure of sailfish *Istiophorus platypterus* in eastern Taiwan estimated by stable isotope analysis // J. Fish Biol. V. 84. № 2. P. 354–371.
<https://doi.org/10.1111/jfb.12290>
- Tsai C.-N., Chiang W.-C., Sun C.-L. et al.* 2015. Stomach content and stable isotope analysis of sailfish (*Istiophorus platypterus*) diet in eastern Taiwan waters // Fish. Res. V. 166. P. 39–46.
<https://doi.org/10.1016/j.fishres.2014.10.021>
- Ueno T.* 1971. List of marine fishes from the waters of Hokkaido and its adjacent regions // Sci. Rep. Hokkaido Fish. Exp. Stn. № 13. P. 61–102.
- Velayutham R., Veeramuthu S., Kesavan K.* 2012. Length–weight relationship and morphometrics of the sailfish, *Istiophorus platypterus* (Shaw & Nodder) from Parangipettai, Southeast coast of India // Asian Pac. J. Trop. Biomed. V. 2. № 1. Suppl. P. S373–S376.
[https://doi.org/10.1016/s2221-1691\(12\)60190-7](https://doi.org/10.1016/s2221-1691(12)60190-7)
- Vidaurri-Sotelo A.L., Macias-Zamora R., Cabello M.G.* 2005. Albinism in sailfish (*Istiophorus platypterus*) found in the coast of Colima, Mexico // Pakistan J. Biol. Sci. V. 8. № 4. P. 669–671.
<https://doi.org/10.3923/pjbs.2005.669.671>
- Wang S.-P., Sun C.-L., Yeh S.-Z. et al.* 2006. Length distributions, weight–length relationships, and sex ratios at lengths for the billfishes in Taiwan waters // Bull. Mar. Sci. V. 79. № 3. P. 865–869.

ON THE CAPTURE OF SAILFINS *ISTIOPHORUS PLATYPTERUS* (ISTIOPHORIDAE) IN WATERS OFF THE WEST COAST OF KUNASHIR ISLAND (SEA OF OKHOTSK) IN SEPTEMBER 2023

Yu. N. Poltev¹, * and V. G. Samarsky¹

¹*Sakhalin Branch, Russian Federal Research Institute of Fisheries and Oceanography,
Yuzhno-Sakhalinsk, Russia*

*E-mail: poltevyun@sakhniro.vniro.ru

Three immature specimens of Indo-Pacific sailfish *Istiophorus platypterus* have been found in a catch using a fixed net from the Sea of Okhotsk side of Kunashir Island on September 27, 2023. Data of morphometric measurements of one of them are presented. The total length of the studied specimen was 1101.3 mm, fork length (FL) was 973.8 mm, standard length (SL) was 966.6 mm, lower jaw–fork length (LJFL) was 82.15 cm, and body weight was 2.25 kg. The temperature of the water surface layer in the catch site was 21°C on the date of the capture.

Keywords: Indo-Pacific sailfish *Istiophorus platypterus*, morphometry, external appearance, temperature of the water surface layer, Kunashirsky Strait (Sea of Okhotsk).